

Système : densimètre de masse M ✓

Le système est soumis à son poids $\vec{P} = m\vec{g}$ et à la poussée d'Archimède $\vec{\pi}_A$ ✓

À l'équilibre on peut appliquer la première loi de Newton : $\sum \vec{F}_{\text{ext}} = \vec{0}$

$$\vec{\pi}_A + M\vec{g} = \vec{0} \quad \checkmark$$

avec $\vec{\pi}_A = \vec{\pi}_{\text{air}} + \vec{\pi}_{\text{liquide}} = -\mu_{\text{air}} V_{\text{air}} \vec{g} - \rho V_{\text{liq}} \vec{g}$, $\left. \begin{array}{l} V_{\text{air}} = \text{volume de solide dans} \\ \text{l'air} \\ V_{\text{eau}} = \text{volume de solide dans} \\ \text{l'eau} \end{array} \right\} \text{air}$

et $m\vec{g} = \mu_d (V_{\text{air}} + V_{\text{liq}}) \vec{g}$, avec μ_d la masse volumique du densimètre.

$$\mu_d = \frac{M}{SL + V_0} \quad , \quad V_{\text{air}} = (L-x)S \quad , \quad V_{\text{liq}} = V_0 + xS \quad \text{air}$$

↳ pas d'intensité. On connaît $M =$ masse du densimètre

D'où

$$-\mu_{\text{air}} (L-x)S - \rho (V_0 + xS) + \frac{M}{SL + V_0} ((L-x)S + V_0 + xS) = 0$$

$$\rho = \left[\frac{M}{SL + V_0} ((L-x)S + V_0 + xS) - \mu_{\text{air}} (L-x)S \right] \cdot \frac{1}{V_0 + xS} \quad \text{air}$$

$$= \left[M - S\mu_{\text{air}} (L-x) \right] \cdot \frac{1}{V_0 + xS}$$

$$\rho = \frac{M - SL\mu_{\text{air}} + \cancel{SL\mu_{\text{air}}x}}{V_0 + xS}$$

↳ expression non homogène
on peut supposer $M \gg SL\mu_{\text{air}}(L-x)$

$$\rho \approx \frac{M}{V_0 + xS}$$

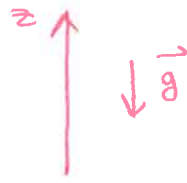
ρ n'est pas de la forme $Ax + B$ avec A et B des constantes,

donc la graduation en intensité n'est pas linéaire. ✓ B

1. On applique le principe fondamental de la statique à l'atmosphère en équilibre isotherme :

En supposant un axe Oz ascendant :

$$\vec{\text{grad}}(P) = \rho \vec{g} \quad \Leftrightarrow \quad \frac{dP}{dz} = -\rho g$$



En projetant sur cet axe Oz : $\frac{dP}{dz} = -\rho g$

Or l'air est un fluide compressible donc $\rho = \rho(P)$

On trouve que $\rho = \frac{m}{V} = \frac{m \cdot M_{\text{air}}}{V} = \frac{P(z) \cdot M_{\text{air}}}{RT}$ d'après la loi des gaz parfaits.

Ainsi $\frac{dP}{dz} = -\frac{M_{\text{air}} \cdot g}{RT} P(z)$, donc $\frac{dP}{dz} + \frac{M_{\text{air}} g}{RT} P(z) = 0$

On pose $H = \frac{RT}{M_{\text{air}} g}$ la hauteur d'échelle. C'est la hauteur caractéristique telle qu'à $z = 3H$, 95% de la pression initiale aura diminué.

On a donc $\frac{dP}{dz} + \frac{P(z)}{H} = 0$, ainsi $P(z) = A e^{-z/H}$

Il apparaît, d'après l'énoncé, que $P(z=0) = A = P^0$

Subséquentement, $P(z) = P^0 e^{-z/H}$

Applications numériques : à $T = 290 \text{ K}$ on a :

$$H = \frac{RT}{M_{\text{air}} \cdot g} = \frac{8,314 \cdot 290}{29 \times 10^{-3} \times 9,81} = 8475 \text{ m} = 8,48 \text{ km}$$

De plus d'après ce qui a été dit précédemment, on peut exprimer $\rho(P)$:

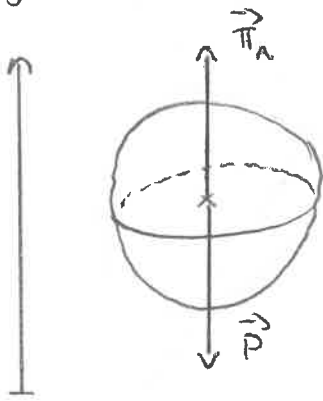
$\rho(P) = \frac{M_{\text{air}} P(z)}{RT}$. Donc $\rho_0 = \frac{M_{\text{air}} P^0}{RT} = \frac{29 \times 10^{-3} \cdot 10^5}{8,314 \cdot 290} = 1,20 \text{ kg} \cdot \text{m}^{-3}$

2. Supposons que la mangeoire fasse 20 m de haut, évaluons la différence de la pression de l'air exercée en haut, et en bas de cette dernière : si la mangeoire est au sol :

$$\Delta P = P(z=0) - P(z=20) = P^0 \left(1 - e^{-\frac{20}{H}}\right) \approx 235 \text{ Pa} \ll P^0$$

on peut donc négliger cette variation et supposer que la pression de l'air est uniforme autour de la mangeoire.

3. On assimile la mangolfière à son ballon uniquement, une sphère de rayon $r = 5 \text{ m}$:



système: { mangolfière assimilée à son ballon, de masse totale M } ✓

bilan des forces: $\vec{\pi}_A$: la poussée d'Archimède

\vec{P} : le poids ✓

Pour que la mangolfière s'élève, il faut $\|\vec{\pi}_A\| > \|\vec{P}\|$ ✓

Il faut donc que $\rho_{\text{air}} \cdot V \cdot g > M \cdot g$ ✓

Donc, il faut que $\frac{\rho_{\text{air}} \cdot V \cdot P(z)}{RT} > M$.

Au sol, $P(z) = P^0 = 10^5$, il faut donc que $\frac{25 \times 10^{-3} \cdot 10^5 \cdot (\frac{4}{3} \pi \cdot 5^3)}{8,314 \cdot 290} > M$

$630 \text{ kg} \rightarrow \approx 629,8 > 600$

la mangolfière pourra s'élever

4. À l'altitude plafond, $\pi_A = P$ ✓

Donc $\frac{\rho_{\text{air}} \cdot V \cdot P(z_p)}{RT} = M \Leftrightarrow e^{-\frac{z_p}{H}} = \frac{MRT}{\rho_{\text{air}} \cdot V \cdot P^0}$

$\Leftrightarrow z_p = \ln\left(\frac{\rho_{\text{air}} \cdot V \cdot P^0}{M \cdot R \cdot T}\right) \cdot H$

A.N. = $\ln\left(\frac{25 \times 10^{-3} \cdot \frac{4}{3} \pi \cdot 5^3 \cdot 10^5}{600 \cdot 8,314 \cdot 290}\right) \cdot 8475 = 410,5 \text{ m} = 410 \text{ m}$

5. On a cette fois-ci $M' = M - \frac{M}{20} = 570 \text{ kg}$ ✓

Ainsi $z'_p = \ln\left(\frac{\rho_{\text{air}} \cdot V \cdot P^0}{M' \cdot R \cdot T}\right) \cdot H = \ln\left(\frac{25 \times 10^{-3} \cdot \frac{4}{3} \pi \cdot 5^3 \cdot 10^5}{570 \cdot 8,314 \cdot 290}\right) \cdot 8475 = 845,2 \text{ m} = 845 \text{ m}$

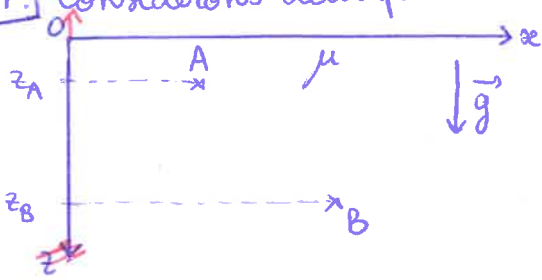
On observe qu'en diminuant la masse totale de seulement $\frac{1}{20}$, l'altitude plafond se voit plus que doublée.

T.B

Ex III

Cylindre en équilibre :

1. Considérons deux points A et B d'un liquide incompressible :



La pression dans ce liquide ne dépend que de z.

La relation fondamentale de la statique fournit :

$$\text{grad } P = \mu \vec{g} \Leftrightarrow \frac{dP}{dz} \vec{u}_z = -\mu g \vec{u}_z$$

vous avez oublié dz vers le haut

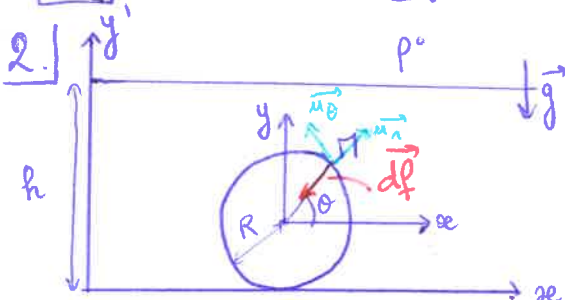
sur \vec{u}_z : $\frac{dP}{dz} = -\mu g \Rightarrow P(z) = \mu g z + C$ constante

or $P(0) = C$ donc $P(z) = -\mu g z + P(0)$

La différence de pression entre A et B est alors :

$$\Delta P = P(B) - P(A) = \mu g (z_B - z_A)$$

$P(z)$ est de croissance



De la relation fondamentale de la statique, on tire $\frac{dP}{dy'} = -\mu g$ en projetant sur y' .

$$\Rightarrow P(y') = -\mu g y' + C' \text{ or } P(h) = -\mu g h + C' = P^0$$

$$\text{d'où } P(y') = \mu g (h - y') + P^0$$

Or, $y = y' - R$ donc $P(y) = \mu g (h - (y + R)) + P^0$ et l'altitude de Π sur y est donnée par $R \sin \theta$ donc :

$$P(\Pi) = \mu g (h - R(\sin \theta + 1)) + P^0$$

oui

3. Orientons la surface latérale du cylindre immergé : $d\vec{S} = dS \vec{u}_n$

Alors $dS = R d\theta dz$.

La force élémentaire $d\vec{f}$ s'écrit $d\vec{f} = -P(\Pi) d\vec{S} = -[\mu g (h - R(\sin \theta + 1)) + P^0] dS \vec{u}_n$.

4. Les forces de pression élémentaires exercées sur le cylindre sont dirigées sur \vec{u}_n .

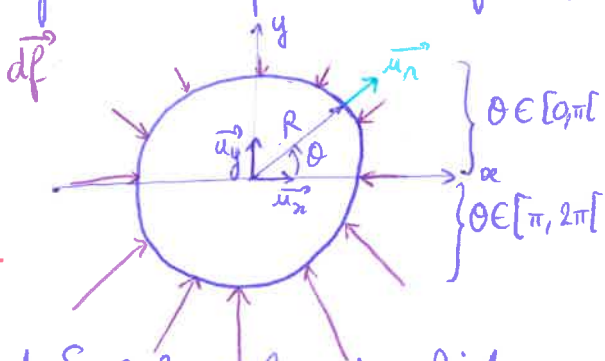
Or, d'après les variations de $\sin \theta$, pour $\theta \in [\pi; 2\pi[$, $\|d\vec{f}\|$ est plus grande que pour $\theta \in [0; \pi[$.

Mais, quand un cylindre est immergé dans un fluide de pression uniforme, toutes les forces de pression se compensent.

Ici, il y a surcompensation des forces de pression exercées par le liquide pour $\theta \in [0; \pi[$ donc la résultante de toutes les forces de pression est orientée suivant $+\vec{u}_y$. Alors $\vec{u} = \vec{u}_y$.

$$\vec{u} = \vec{u}_y$$

oui!



5. D'après l'indication de l'énoncé, en notant S_{cyl} la surface du cylindre

$$F_p = \int_{S_{cyl}} d\vec{f} \cdot \vec{u} = \int_{\theta=0}^{2\pi} \int_{z=0}^L d\vec{f} \vec{u}_n \cdot \vec{u}_y \text{ et } \vec{u}_n \cdot \vec{u}_y = \sin \theta$$

On remplace $d\vec{f}$ puis on calcule.

$$\vec{F}_p = - \int_{\theta=0}^{2\pi} \int_{z=0}^L [\mu g (R - R(\sin\theta + 1)) + P^0] dS \sin\theta \quad \text{où } dS = R d\theta dz \quad 2/2$$

$$\Leftrightarrow F_p = - \underbrace{\int_{\theta=0}^{2\pi} \int_{z=0}^L \mu g h R d\theta dz \sin\theta}_{(1)} + \underbrace{\int_{\theta=0}^{2\pi} \int_{z=0}^L \mu g R (\sin\theta + 1) R d\theta dz \sin\theta}_{(2)} - \underbrace{\int_{\theta=0}^{2\pi} \int_{z=0}^L P^0 R d\theta dz \sin\theta}_{(3)}$$

$$\text{où } (1) = \mu g h R \int_{z=0}^L [z]_0^L [-\cos\theta]_0^{2\pi} = \mu g h R L [-1 - (-1)] = 0$$

$$(2) = \mu g R^2 \int_{\theta=0}^{2\pi} \int_{z=0}^L (\sin^2\theta + \sin\theta) d\theta dz \quad \text{or } \sin^2\theta = \frac{1 - \cos(2\theta)}{2}$$

$$\Leftrightarrow (2) = \mu g R^2 \int_{z=0}^L \int_{\theta=0}^{2\pi} \left(\frac{1 - \cos(2\theta)}{2} + \sin\theta \right) d\theta = \mu g R^2 L \cdot \left[\underbrace{\frac{1}{2} \cdot [\theta]_0^{2\pi}}_{= \frac{1}{2} \cdot 2\pi = \pi} - \underbrace{\frac{1}{2} \left[\frac{\sin(2\theta)}{2} \right]_0^{2\pi}}_{= 0} + \underbrace{[-\cos\theta]_0^{2\pi}}_{= 0} \right]$$

$$\Leftrightarrow (2) = \mu g R^2 L \pi$$

$$(3) = P^0 R \int_{z=0}^L [z]_0^L [-\cos\theta]_0^{2\pi} = 0$$

$$\text{D'où } \vec{F}_p = (1) - (2) + (3) = 0 + (2) + 0 = + \mu g \pi R^2 L$$

6.] Alors, la résultante des forces de pression exercées sur le cylindre s'exprime : $\vec{F}_p = + \mu g \pi R^2 L \vec{u}_y = \mu V_{\text{cylindre}} \vec{g}$

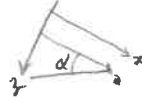
ce qui est l'expression de la poussée d'Archimède sur ce cylindre plètement immergé dans le liquide. Le théorème d'Archimède est vérifié.

Youssef Kouini
 Mohamed Fequin
 Fritsch Hugo

Ex IV TD 12

Bon travail.

1) Le liquide est sur un plan incliné, il est donc soumis à la pesanteur donc il va s'écouler selon l'axe x .



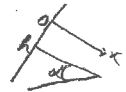
↳ = hypothèse de l'écoulement

↳ mais vous ne répondez pas à la question posée
 $v(z=h) = 0 \rightarrow$ condition d'adhérence $v(z=0) \neq 0$ pas d'adhérence avec l'air $\Rightarrow v(z)$

2) Si on suppose le fluide incompressible, on a $\text{div } \vec{v} = 0$ donc $\frac{\partial v}{\partial x} = 0$ ce qui nous indique que v ne dépend ~~pas de x~~ . Ce qui correspond à l'hypothèse donnée par l'énoncé

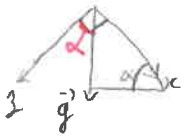
3) En $z=0$ on a un contact entre le fluide et l'air, or la viscosité de l'air est négligée

Ainsi $\|\vec{F}_T\| = 0 = \eta S \left(\frac{dv}{dz} \right) (z=0)$

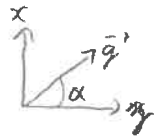


En $z=h$, nous avons un contact entre le solide et le fluide, d'après la condition d'adhérence $v(z=h) = 0$ et $\|\vec{F}_T\| = \eta S \left(\frac{dv}{dz} \right) (z=h)$

4) On doit tout d'abord projeter \vec{g} sur x et z :



Avec le schéma on déduit (\vec{g}_x, \vec{g}_z) qui est α :



donc $\vec{g} = g (\cos \alpha \vec{e}_z + \sin \alpha \vec{e}_x)$

Ainsi la relation projetée:

sur x : $g \mu \sin \alpha + \eta \frac{d^2 v(x)}{dz^2} = \frac{\partial p}{\partial x}$

sur z : $g \mu \cos \alpha = \frac{\partial p}{\partial z}$

5) On intègre la relation projetée sur z :

$$p = \rho g \cos \alpha z + f(x) \text{ or en } z=0 \rightarrow p(0) = p^0$$

$$\Rightarrow \text{or } = p^0 = f(x)$$



d'où
$$p = \rho g \mu \cos \alpha z + p^0$$

6) En dérivant la relation trouvée Q5) par rapport à x on obtient $\frac{dp}{dx} = 0$

Ainsi la relation projetée sur x donne:

$$\left\{ \begin{aligned} \frac{d^2 v(z)}{dz^2} &= -\frac{\mu}{\eta} g \sin \alpha \\ \frac{dv(z)}{dz} &= -\frac{\mu g \sin \alpha}{\eta} z \text{ avec } v(0) = 0 \text{ car } \frac{dv}{dz}(0) = 0 \text{ d'après Q3) } \underline{B} \\ v(z) &= -\frac{\mu g \sin \alpha}{2\eta} z^2 + \text{or en } z=h \quad v(z=h) = 0 \end{aligned} \right.$$

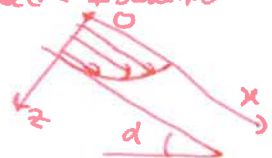
donc $\text{or} = \frac{\mu g \sin \alpha}{2\eta} h^2$

$$v(z) = -\frac{\mu g \sin \alpha}{2\eta} (z^2 - h^2) \rightarrow \text{profil de vitesse parabolique } \underline{TB}$$

N'hésitez pas à faire le schéma

• quand $\alpha = 0$, le plan n'est pas incliné donc le liquide ne s'écoule plus

donc $\vec{v} = \vec{0}$



De même la pression de part chaque côté du fluide sera la même $p = p^0$

$P(z) = \rho g z + p^0$ et toujours une fonction affine.

7) Les forces tangentielles sont les forces de viscosité:

$$\vec{F}_T = -\eta S \frac{dv}{dz} \vec{e}_x \text{ or d'après Q6) } \frac{dv}{dz} = -\frac{\mu g}{\eta} \sin \alpha z$$

or le sol se trouve en $z = h$

$$\vec{F}_T = -\eta S \frac{dv}{dz}(h) \vec{e}_x = S \mu g h \sin \alpha \vec{e}_x$$



$$[F_T] = N = m^2 \cdot kg \cdot m^3 \cdot m \cdot s^{-2} \cdot m = kg \cdot s^{-2} \cdot m = N$$

• Pour l'eau et l'huile, les forces de viscosité seront les mêmes puisque η n'intervient pas et on suppose que $\mu_{huile} = \mu_{eau}$

\underline{B} $\frac{F_T}{S}$ ne dépend que de la masse volumique du fluide.

AN ?
$$\frac{F_T}{S} = \mu g h \sin \alpha \text{ pour } d = 45^\circ \quad h = 1 \text{ mm}$$

$$= 10^3 \times 10 \times 10^{-3} \times \frac{\sqrt{2}}{2} = 7 \text{ N} \cdot m^{-2} \text{ ou Pa.}$$

→ définition de la contrainte tangentielle

Suive TD12 Ex IV

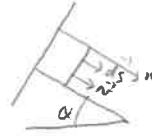
g) d'après la définition du débit volumique : $\vec{v} = \frac{dV}{dt} \vec{u}_x = dydz \vec{u}_x$
 ou $\vec{v} = v \vec{u}_x$ donc $dS = dS \vec{u}_x = dydz \vec{u}_x$

$$Dv = \iint_S \vec{v} \cdot d\vec{S} = \int_0^L v(z) dy \int_0^L dx$$

$$= \left(-\frac{\mu g h^3}{6\eta} + \frac{\mu h^3}{2\eta} g \right) \times L \sin \alpha$$

$$= \frac{\mu h^3 L}{3\eta} g \sin \alpha$$

$$\text{et } \overline{v_{\text{moy}}} = \frac{Dv}{S} = \frac{\mu h^3 L}{3\eta \times L \times h} g \sin \alpha = \frac{\mu h^2}{3\eta} g \sin \alpha$$



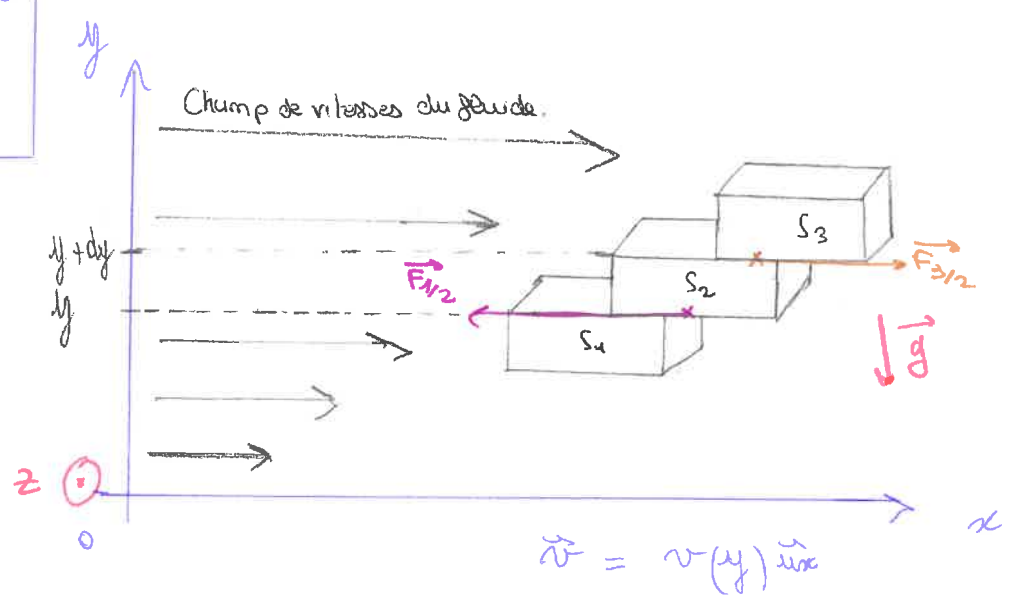
g) A.N $\overline{v_{\text{moy}} \text{ eau}} = \frac{10^3 \times 10^{-6}}{3 \times 10^{-3}} \times 10 \times \frac{\sqrt{2}}{2} \approx 2,4 \text{ m.s}^{-1}$

$\overline{v_{\text{moy}} \text{ huile}} = \frac{10^3 \times 10^{-6}}{3 \times 1} \times 10 \times \frac{\sqrt{2}}{2} = 2,4 \times 10^{-3} \text{ m.s}^{-1}$

B

Ayoub
 Belflah
 Yasmine
 Ait Ouvarab
 Inès
 ROY

EX. 5 TD.12



1. Expression de la force tangentielle exercée par la particule 1 sur la particule 2 :

$$\vec{F}_{1/2} = -\eta S \frac{dv}{dy} \vec{i}_x \quad (\text{signe } \ominus \text{ car } S_2 \oplus \text{ rapide que } S_1, \text{ donc } \vec{F}_{1 \rightarrow 2} \text{ est une force de frottement}).$$

et $[\eta] = \frac{\text{kg} \cdot \text{m} \cdot \text{s}^{-2}}{\text{m}^2} = \frac{1}{\text{s}^{-1}} = \text{kg} \cdot \text{s}^{-1} \cdot \text{m}^{-1}$

2. Expression de la force tangentielle exercée par la particule 3 sur la particule 2 :

$$\vec{F}_{3/2} = \eta S \left(\frac{dv}{dy} \right) (y+dy) \vec{i}_x$$

(signe \oplus car $S_3 \oplus$ rapide que S_2 , donc $\vec{F}_{3 \rightarrow 2}$ est B)

3. $d\vec{F} = \vec{F}_{1 \rightarrow 2} + \vec{F}_{3 \rightarrow 2} = -\eta S \left(\frac{dv}{dy} \right) \vec{i}_x + \eta S \frac{dv}{dy} (y+dy) \vec{i}_x$

$\uparrow \left(\frac{dv}{dy} \right) (y)$
 $= dx dz$

$$\Leftrightarrow d\vec{F} = \eta dx dz \frac{d^2 v_x}{dy^2} dy \vec{i}_x = d\tau$$

4. Bilan des actions qui s'exercent sur S_2 :

* poids = $-dmg \vec{u}_z$ (vertical selon \vec{u}_z)

* $d\vec{F}_p = -\vec{\text{grad}} P d\tau$: résultante des forces de pression (elles selon l'axe

* $d\vec{F}$: force de viscosité

~~manif~~
~~de part avec~~
~~réglées~~)

5. le champ des accélérations est colinéaire à \vec{u}_z , donc on garde la composante $\frac{\partial}{\partial x} \vec{u}_z$ du gradient de pression.

6. La particule fluide est en ~~équilibre~~, donc la somme des forces ~~est nulle~~: est égale à $dm \vec{a}$ (P/d)

$$dm a \vec{u}_z = dm \vec{g} - \vec{\text{grad}}(P) dz + \eta dz \frac{\partial^2 v_x}{\partial y^2} \vec{u}_z$$

$$\text{or } dm = \mu \cdot dz \Leftrightarrow \mu dz \vec{g} - \vec{\text{grad}}(P) dz + \eta dz \frac{\partial^2 v_x}{\partial y^2} \vec{u}_z = \mu a \vec{u}_z dz$$

$$\Leftrightarrow \mu \vec{g} - \vec{\text{grad}}(P) + \eta \frac{\partial^2 v_x}{\partial y^2} \vec{u}_z = \mu a \vec{u}_z$$

or $P(x, y, z, t)$

* Par projection sur l'axe z , $\frac{\partial P}{\partial z} = 0$ donc P est ~~invariant~~ ^{indépendant} par translation d'axe ~~de z~~ .

* Par projection sur y : $-\mu g = \frac{\partial P}{\partial y} \Rightarrow P(x, y, t)$

* en primitive: $P(x, y, t) = -\mu g y + f(x, t)$

or en $y=h$, $P_c = -\mu g h + f(x, t)$

$$\Leftrightarrow f(x, t) = P_c + \mu g h = f(x, t)$$

$$\Leftrightarrow P(x, y, t) = \mu g (h - y) + P_c$$

B | Ainsi, on voit que finalement, le ^{champ de} pression ne dépend que de la hauteur $y \Rightarrow P(y) = \mu g (h - y) + P_c$

sur Ox $\left[\eta \frac{\partial^2 v_x}{\partial y^2} = \mu a \right]$ (éventuellement du temps...)